

сообщения  
Объединенного  
института  
ядерных  
исследований  
Дубна

2065 / 2-80

12/5-80

P4 - 12997

Х.Л.Молина

ВЛИЯНИЕ ЧАСТИЧНО-ДЫРОЧНЫХ КОРРЕЛЯЦИЙ  
НА МНИМУЮ ЧАСТЬ  
ОПТИЧЕСКОГО ПОТЕНЦИАЛА  
В ЯДРАХ  $^{16}\text{O}$  И  $^{40}\text{Ca}$

1980



кроскопической теории для блока  $g_{jj}^I$  получим следующее выражение /6/:

$$g_{jj}^I = \sum_{j_1 j_2} \chi_{j_1 j_2}^I \sqrt{2I+1} \langle j_1 \bar{j}_2; I | \mathcal{F} | j j'; I \rangle, \quad /5/$$

где

$$\chi_{j_1 j_2}^I = \langle I || (a_{j_1}^+ a_{j_2})_I || 0 \rangle,$$

а  $\langle j_1 \bar{j}_2; I | \mathcal{F} | j j'; I \rangle$  - матричный элемент парного взаимодействия - рассчитывается по обычным формулам в оболочечной модели /6/. После несложных преобразований для  $\text{Im} V_{\text{опт}}^Q$  окончательно получим:

$$\begin{aligned} \text{Im} V^Q &= \text{Im} \sum_{\mu=-1/2}^{1/2} V_{\mu\mu}^Q(\vec{k}, \vec{k}') = \\ &= -\frac{1}{4} \sum (2I+1) \left| \sum_{j_3 j_4} \langle j_2 j_1 I | \mathcal{F} | j_3 j_4; I \rangle \chi_{j_3 j_4}^I \right|^2 \cdot P_{l_1}(\theta), \end{aligned} \quad /6/$$

где  $\theta$  - угол между векторами  $\vec{k}$  и  $\vec{k}'$ ,  $j_2$  относится к частице в промежуточном состоянии,  $j_1$  - к рассеянной частице,  $j_3, j_4$  - к промежуточному возбужденному состоянию ядра-мишени /1/. Радиальная волновая функция частицы в промежуточном состоянии, входящая в матричный элемент  $\langle j_2 j_1; I | \mathcal{F} | j_3 j_4; I \rangle$ , определяется следующим образом: либо как свободная функция

$$R_{l_2 j_2} = \sqrt{\frac{2mk}{\pi h^2}} j_{l_2}(kr) Y_{1/2 l_2 j_2}(\vec{k}, \vec{\sigma});$$

либо как искаженная функция

$$R_{l_2 j_2}^{\pm} = \sqrt{\frac{2mk}{\pi h^2}} e^{\pm i\delta_{l_2 j_2}} F_{l_2 j_2}^{\pm}(kr).$$

где  $\delta_{l_2 j_2}$  - фазы рассеяния,  $F_{l_2 j_2}^{\pm}(kr)$  - регулярное решение уравнения Шредингера; либо как радиальная функция связанного состояния частицы в промежуточном ядре. Аналогичным образом определяются радиальные волновые функции в состояниях  $j_1, j_3, j_4$ . В приближении Тамма-Данкова коэффициенты  $\chi_{j_3 j_4}^I$  находятся из системы уравнений /4/

$$\chi^I = A \mathcal{F} \chi^I, \quad /7/$$

где  $A$  выбирается в виде

$$A = \frac{\theta_+(p) \theta_-(h)}{E - e_p - e_h + i\epsilon}, \quad /8/$$

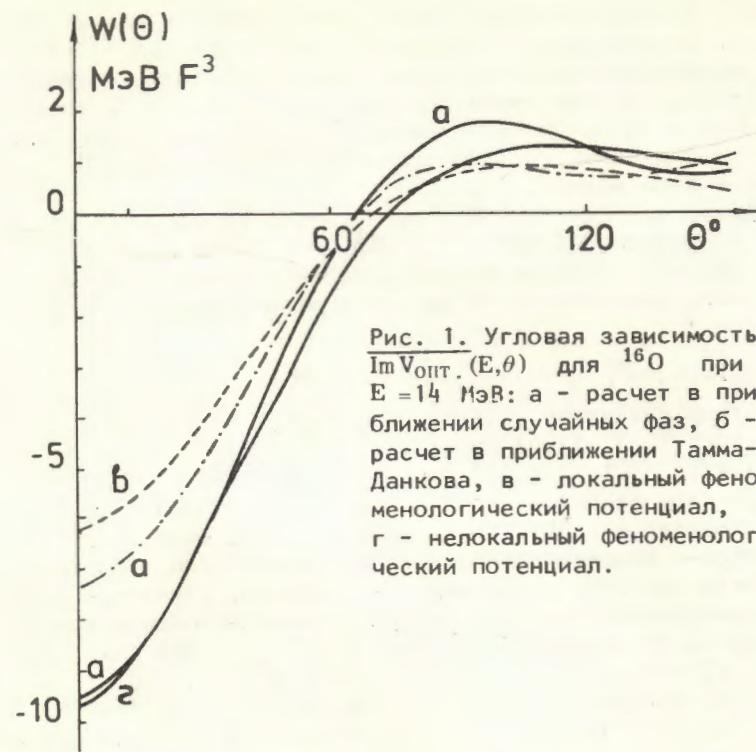


Рис. 1. Угловая зависимость  $\text{Im} V_{\text{опт}}(E, \theta)$  для  $^{16}\text{O}$  при  $E = 14$  МэВ: а - расчет в приближении случайных фаз, б - расчет в приближении Тамма-Данкова, в - локальный феноменологический потенциал, г - нелокальный феноменологический потенциал.

Состояния частицы (p) и дырки (h) принадлежат дискретному спектру; функция  $\theta_+(p)$  определяется в виде

$$\theta_+(p) = \begin{cases} 0, & E_p < E_F, \\ 1, & E_p > E_F, \end{cases}$$

где  $E_F$  - энергия Ферми;  $e_p$  и  $e_h$  - энергии частицы и дырки соответственно.

В приближении случайных фаз, учитывающих частично-дырочные корреляции, амплитуды  $\chi^I$  определяются из уравнений /7/, где

$$A = \frac{\theta_+(p) \theta_-(h)}{E - e_p - e_h + i\epsilon} - \frac{\theta_-(p) \theta_+(h)}{E + e_p + e_h - i\epsilon}. \quad /9/$$

Выражение /6/ мы используем для расчета угловой зависимости мнимой части оптического потенциала упругого рассеяния нейтронов низких энергий на ядрах  $^{16}\text{O}$  и  $^{40}\text{Ca}$ .

Ядро  $^{16}\text{O}$ . Как показали ранние исследования в рамках коллективной модели ядра  $^{16}\text{O}$ , основной вклад в  $\text{Im}V_{\text{ОПТ}}$  дают в случае сферических четно-четных ядер коллективные уровни  $3^-$  /до 50%/. В этой связи особенно важно проверить влияние корреляций в основном состоянии /ПСФ/ на вклады низших коллективных состояний  $3^-$  по сравнению с расчетами в ПТД и коллективной модели.

Волновые функции соответствующих энергий возбуждения ядра  $^{16}\text{O}$  в приближении ПТД и ПСФ получены Жилле и Вин-Мау  $^{18}$ . Расчет  $\text{Im}V_{\text{ОПТ}}$  сделан при энергии  $E = 14$  МэВ с выбором остаточного двухчастичного ядерного взаимодействия  $\mathcal{F}$  в виде  $\delta$ -сил  $^{16}$ :

$$\mathcal{F} = g(1 - a + a\vec{\sigma}_1 \cdot \vec{\sigma}_2)\delta(\vec{r}_1 - \vec{r}_2).$$

Были учтены следующие уровни:  $3_1^- T=0$  /6,2 МэВ/;  $3_2^- T=1$  /13,2 МэВ/;  $T=1$  /13,01 МэВ/;  $T=1$  /13,0 МэВ/;  $0_1^- T=0$  /10,9 МэВ/;  $0_2^- T=1$  /12,8 МэВ/.

Результаты расчетов  $\text{Im}V_{\text{ОПТ}}$  в ПТД и ПСФ показаны на рис. 1 /кривая а - ПСФ, кривая б - ПТД/. На этом же рисунке представлены феноменологические локальный /в/ и нелокальный /г/ потенциалы  $^{9,10}$ . Как видно из рисунка, расчетная кривая в ПСФ практически совпадает с нелокальным феноменологическим потенциалом. В ПСФ вклады уровней в  $\text{Im}V_{\text{ОПТ}}$  при  $\theta=0$  следующие:  $3_1^-$  - 57,7%;  $3_2^-$  - 9%;  $1^-$  - 17%;  $2^-$  - 10%;  $0_1^-$  - 5%;  $0_2^-$  - 2%. В приближении ПТД:  $3_1^-$  - 36,5%;  $3_2^-$  - 13%;  $1^-$  - 24%;  $2^-$  - 16,5%;  $0_1^-$  - 6,7%;  $0^-$  - 3,5%. Итак, в ПСФ по сравнению с ПТД вклад низшего коллективного уровня  $3^-$  значительно увеличивается, что особенно важно, поскольку уровень  $3^-$  дает основной вклад в  $\text{Im}V_{\text{ОПТ}}$ .

Ядро  $^{40}\text{Ca}$ . Расчет проведен при  $E = 14,6$  МэВ с учетом коллективных уровней  $3^-$  /3,78 МэВ/ и  $5^-$  /4,45 МэВ/. Волновые функции в ПСФ взяты из работы  $^{8}$ . На рис. 2 показаны результаты расчета /кривая а - ПСФ, б - нелокальный феноменологический потенциал  $^{10,11}$ /. Как видно из рис. 2, имеет место хорошее согласие расчетов в ПСФ с феноменологическим нелокальным потенциалом. При сравнении расчетов в ПСФ и в рамках коллективной модели для ядер  $^{16}\text{O}$  и  $^{40}\text{Ca}$   $^{7}$  с феноменологическим описанием приходим к выводу, что учет корреляций в основном состоянии существенно увеличивает вклад в  $\text{Im}V_{\text{ОПТ}}$  низшего коллективного состояния  $3_1^-$ .

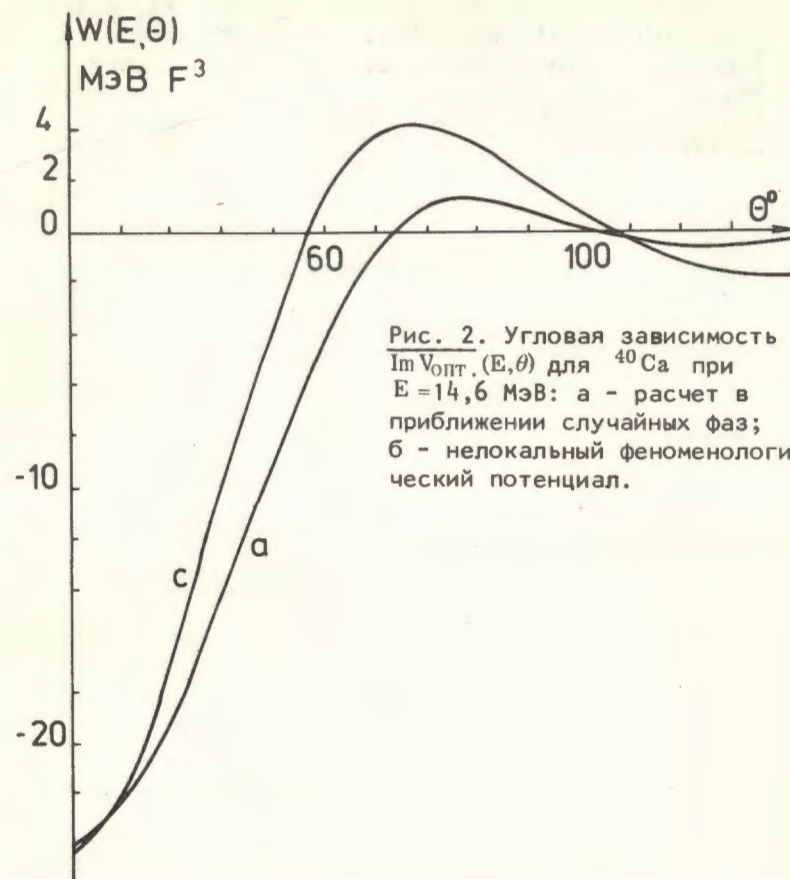


Рис. 2. Угловая зависимость  $\text{Im}V_{\text{ОПТ}}(E, \theta)$  для  $^{40}\text{Ca}$  при  $E = 14,6$  МэВ: а - расчет в приближении случайных фаз; б - нелокальный феноменологический потенциал.

#### ЛИТЕРАТУРА

1. Feshbach H. Ann.Phys., 1958, 5, p.357.
2. Bloch C. Nucl.Phys., 1957, 4, p.503.
3. Brown G.E. Rev.Mod.Phys., 1959, 31, p.893.
4. Мигдал А.Б. Теория конечных ферми-систем и свойства атомных ядер. "Наука", М., 1965.
5. Giai N.V., Savicki J., Vinh-Mau N. Phys.Rev., 1966, 141, p.913.
6. Живописцев Ф.А., Мошковски В.М., Юдин Н.П. Изв. АН СССР, сер. физ., 1968, 32, с.660.
7. Живописцев Ф.А., Ржевский Е.С. Вестник МГУ, 1974, 6, с.661.

8. Gillet Y., Vinh-Mau N. Nucl.Phys., 1964, 54, p.321.
9. Lamot G.H. et al. Nucl.Phys., 1967, A99, p.633.
10. Engelbrecht C.A., Fiedelcley H. Ann.Phys., 1967, 42, p.262.
11. Bjorkend F.E., Fernbach S. Phys.Rev., 1956, 101, p.1832.

Рукопись поступила в издательский отдел  
11 декабря 1979 года.